

专题技术译丛

THUANTI JISHU YICONG

激光技术

(一)

2

1971

长沙工学院资料室

贈閱
請交換

前　　言

本专辑共搜集了七篇文章，第一篇综合介绍了氦一氖激光器，第二篇、第三篇介绍氦一氖激光器使用的阴极，第四篇介绍氦一氖激光器的充气比例，第五篇介绍了单模氦一氖激光器的具体结构，第六篇、第七篇介绍氦一氖激光器的脉冲实验。

全部文章由情报资料室李仲伯同志翻译，激光研究室进行技术校对。由于译、校者水平有限，错误在所难免，诚恳地希望同志们批评指正。

氯-氛激光器

摘要：

本文介紹氯-氛激光器的基本設計与工作原理，評述了可以使系統产生激光辐射的各种途径，討論了辐射性质，如频率结构，单色性以及功率密度等，还着重研究了外碰伤对系統的影响以及输出频率的稳定方法。最后，还討論了激光器的各种应用。

目录：

§ 1 緒論

1·1 光学頻率譜振腔

1·2 諧振腔內的振动

§ 2 氯-氛激光机构

2·1 基本理論

2·2 *Javan -Bennet -Herricks* 激光器

2·3 其它激光器的激励机构

§ 3 系統的頻譜

§ 4 激光器振蕩性质

4·1 輸出功率与增益

4·2 线宽与~~栏~~结构

4·3 模的选择

4·4 噪声

§ 5 系統的宏观干涉

5·1 碰伤影响

5·2 頻率穩定

§ 6 应用

6·1 谱波的产生

6·2 Raman 频谱 Rayleigh 和 Brillouin 散射

6·3 度量衡与干涉仪

6·4 等离子区测量

§ 1 緒論

1961年，Javan 等成功地制成了第一个使用¹He—氖混合气体的激光振荡器，証实了Schawlow 和 Townes 在1958年提出的理論予言。这个装置发射連續波，但高度单色光的微弱射線波長約 1.1μ 。在光譜範圍屬紅光區域內，与当时生产、发展更牢固、有效的固体激光器的盛极一时的趋向比起来，这仅仅是一个小小的笑話。然而，¹He—氖激光器的发展超过了予想，成了更精小而有效的工具，它可以在比第一次振荡多得多的頻率上产生辐射。而且还可以制得很简单而牢固的高度单色的辐射源供科学的研究与新工艺之用，最后，它还可以用来分析原子过程以及研究光的性質和应用，即所謂光的“相干性”。这个引起相当爭議的“相干性”問題，本文不打算討論，讀者可参考Mandel 和 Wolf 1965年以及 Glauber 1965年写的文章。“相干性”和“相干性”将使用这几位著者的定义。

这篇文章不打算討論整个气体激光器所涉及的物理学問題，因为超出這論文的范围，我们仅仅搜集了近五年来在¹He—氖激光器方面所出現的大

量資料并且加以評述。当然，这并不是說，文章沒有參考激光器物理学的一般理論和實踐，所以，文章的第一节就在极简单地評述气体激光器系統的各种主要观点的同时，参考一些主要著作进行深入分析。第二节和第三节介紹氮—氛激光器可能的几种工作方式。第四节詳細地敘述系統的輸出性質。第五节論述各种外部条件对系統的影响。第六节介紹氮—氛激光器的各种基本用途。

1·1 光学頻率諧振腔

激光器，本质上可以想像为一个通訊用的电子振蕩器，一个由反馈机构造成諧振腔損失的諧振腔。激光器的諧振腔是在光子频率之下发生諧振的，由 Janan 等人最初使用的諧振腔就是众所周知的法布里—珀洛特标准系統的进一步发展。简单的經典光学表明，法布里—珀洛特标准系統是沿系統的軸产生光学辐射諧振的，波長 λ 由如下方程給出：

$$2L = q\lambda \quad (1-1)$$

式中： L 为諧振腔长度， q 为某个整数。然而，在激光器系統中，其中 L 和鏡的尺寸比起来很大，因此不能直接看出，这样 q 的究竟可不可能，需要利用 F_{0X} 和 L ；(1961年) Boyce 和 Gordon (1961年) 以及其它人的結論进行比較詳細的分析，以确定适用于激光器系統的簡單公式，当然，在这些激光系統中，存在着很多能满足公式的不同的振蕩模型。这些模型用一个 T_{EM} 数在标准波导实际中予以規定，其中 n, m 規定为模的横向和徑向对称性， q 由方程(1·1)給出。然而，法布里—珀洛特标准系統

以建立，因为鏡必須精确地平行，而大多数氦一氣激光器現在已經建成，不过使用了比 Connes 在 1956 年第一次使用过的諧振系統略有改进的系統。这种諧振系統由两个凹鏡排列而成，凹鏡的排列要使它们共軸。Boyd 和 Kogelnik (1962年) 以及其它人都对这样一个諧振腔进行过分析，他们发现，諧振条件可以类似于法布里一珀洛特系統的諧振条件。凹鏡系統的共軸排列就称之为共焦系統，它使用两个曲率半徑相等的鏡組成，鏡間距二倍于焦距長；但这并非唯一的类型，焦距長不等的凹鏡也可以使用。不过，在大多数实际应用中，共焦系統可取，因为它一則容易建立，二則衍射損失比較小。

最后，應該指出，在大多数实际情况下，光学諧振腔的 Q 值最主要的是所用反射鏡的反射率的函数，由于反射率很高，故激光器諧振腔的 Q 值的数量級可能为 10^8 或者更高。从簡單的諧振方程可看出在可見和近紅外頻率下，有一組不同的諧振頻率包含在多卜勒寬原子射線的寬度內。这点对以后的叙述是很重要的。

1.2 諧振腔內的振蕩

給一个高々的光学諧振腔，那么，为了維持腔內振蕩，需要对諧振腔內的能量損耗进行某种补偿。这一点就依靠激光发射現象來达到。被激发态，从光学上來說就是低能态，处于諧振腔內被激发态的原子，由于受到早已存在于諧振腔內的某个頻率的輻射可能受到激发而辐射，因而又增加了激发輻射。如果分析駐波場和运动着的气体原子的相互作用这个過程的物理学是相当复杂的。讀者可參照拉姆 1964 年所作理論探討。如果作若干簡化，則問題就簡單得多，并且已有若干結論，請參

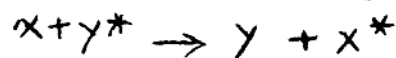
閱 Schawlow 和 Townes 1958 年的論文。最重要的結果就是建立了必需的被激發能區——或者‘反轉’度，這裡高能與低能態之間的差值是一個很重要的參數。所謂‘反轉’，就是相对于波爾茨曼分布定律而言，高能態大大地超過低能區域。

兩個能級之間的這種反轉是極不平常的，Javan 著作的重要意義就在於他使用氮氣混合氣體，在氮氣的兩個能級之間構成了反轉狀態。以後又發現，同樣的系統還可以造成氮的其它能級之間的反轉，因此，只要有一個適當的諧振腔，就可以在許多頻率下產生諧振。所以，氮—氮激光器的核心部分就是一個能獲得反轉的機構，這是我們將首先予以討論的。

§2 氮—氮激光器機構

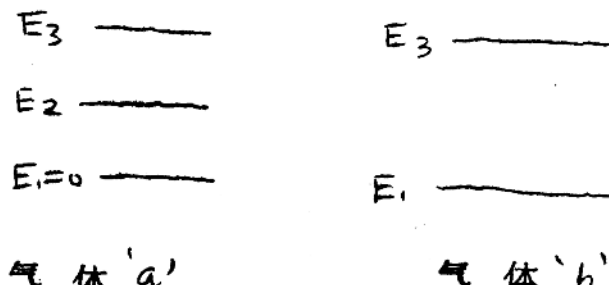
2.1 基本討論

1959 年 Javan 指出，如果有兩種氣體組成的系統，其中一種氣體存在着正狀態，且正穩態又很接近於第二種氣體的被激發態那麼，就可能存在著一個無彈性碰撞的交叉部分，這個所謂交叉部分是由於處在亞穩態的原子把能量傳輸給第二種氣體的原子而使自己回到被激發態。這個過程就是有名的二類碰撞：



Basov 和 Kryokhin (1962 年) 比較地討論了兩種氣體中的這一過程。他們把氣體區分為 ' a ' 和 ' b ' 工作氣體 ' a ' 具有的能級為 $E_1 = 0$, E_2, E_3 等，' b ' 氣體的能級為 $E_1 = 0$ 和 E_3 (見圖 1)。

图 1



使用简单的速度方程式来描述气体原子的組合变化，那么，气体处于能級 E_3 的原子数变化速度为：

$$\frac{dN_3^a}{dt} = N_1^a \left(\frac{1}{\theta_{13}} + \frac{1}{T_{ba}} \right) - N_3^a \left(\frac{1}{\theta_3} + \frac{1}{T_{ab}} + \frac{1}{T_3} \right) = 0 \quad (2.1)$$

式中 $\frac{1}{T_{ba}}$ 为气体 'b' 的諧振能級 E_3 傳輸給气体 'a' 的基态的能量諧振傳輸速度。 $\frac{1}{T_{ab}}$ 是相反過程的能量傳輸速度， $\frac{1}{\theta_3}$ 为能級 3 对电子碰撞的去激勵速度， T_3 是能級 3 在全部衰滅跳遷中的自然寿命。由 N_2^a 产生的激勵能量很小。大致是：

$$\begin{aligned} \frac{dN_2^a}{dt} &= N_1^a \left(\frac{1}{\theta_{12}} + \frac{1}{T_{32}} + \frac{1}{\theta_{32}} \right) - N_2^a \left(\frac{1}{\theta_{21}} + \frac{1}{T_{21}} \right) \\ &= 0 \quad (\text{稳态}) \end{aligned} \quad (2.2)$$

造成反转的条件是：

$$N_3^a > N_2^a \quad (2.3)$$

同样还有

$$\frac{T_{ba}}{T_{ab}} = \frac{N_p^b}{N_3^b} \quad (2.4)$$

這一比值由气体“b”的原子微分温度确定。

假定电子的麦克斯韦分布为

$$\frac{\theta_{31}}{\theta_{13}} = \exp - \frac{(E_3 - E_1)}{kT}, \quad (2.5)$$

将方程(2.1)——(2.5)加以组合，得：

$$\frac{13}{31} < \frac{\left(\frac{\theta_{21}}{\theta_3} + \frac{1}{3}\right) \exp \frac{E_3 - E_2}{kT} - 1 + \theta_{21} \left(\frac{1}{T_{21}} + \frac{1}{T_{32}} - \frac{1}{T_{21}}\right)}{1 - \frac{N_1^b}{N_3^b} \exp \frac{-E_2}{kT} + \theta_{21} \left(\frac{1}{T_{21}} - \frac{1}{T_{32}} - \frac{1}{\theta_{32}}\right)}.$$

令上端和下端均等于零，得两个方程式，其变量为：

$$\theta_{21} \left(\frac{1}{T_{21}} - \frac{1}{T_{32}} \right) \text{ 以及 } \frac{\theta_{31}}{T_3}.$$

如果设

$$\frac{1}{\theta_{32}} \ll \frac{1}{T_{32}} \text{ 以及 } \frac{\theta_{32}}{\theta_3} \approx \frac{1}{3},$$

则线性方程为：

$$\theta_{21} \left(\frac{1}{T_{21}} - \frac{1}{T_{32}} \right) = \frac{N_1^b}{N_3^b} \exp \left(\frac{-E_2}{kT} \right) - 1,$$

$$\frac{\theta_{31}}{T_3} = \frac{\theta_{21} \left(\frac{1}{T_{21}} - \frac{1}{T_{32}} \right) + 1 - \exp \left(\frac{E_3 - E_2}{kT} \right)}{\exp \left(\frac{E_3 - E_2}{kT} \right)}$$

图2表明，这些方程式規定氣体系統中四个可能区域的边界。在区域(a)里，反转組合不可能，因为存在着电子碰撞或二类碰撞。在区域(b)里，气体(b)存在妨碍了在气体(a)中形成反转組合。在区域(c)里，靠气体'b'的存在，在气体'a'里有可能形成反转組合，在区域(d)里，必須气体'b'才能在气体'a'里形成反转組合。

图 2

上述分析的作用是：当采用这种方法計算反转組合的时候，而能級的寿命和碰撞交部分根本弄不清楚，不能使用，則可以根据上述分析描述出系統中产生的主要过程，我们下面要研究的氮—氮系統，还是一个比較复杂的系統，上述分析就更为有用。然而，氮—氮系統进入了图2的区域(c)，氮与氮发生的二类碰撞而造成氮的激歷过程就是 Javan 等人的氮—氮激光器的一个特点。以后又发现，氮的振蕩出現在区域(d)，这将在 § 2·3 节里予以討論。

2.2 Javan-Bennett-Herriot 激光器

大多数介绍氦-氖系统的文献，都采用现已陈旧的，不很出名的 Paschen 方法来描述氖的能级。这是很不幸的，而且由于 $L-S$ 耦合法不足以很好地说明许多能级系统，这种陈旧的方法似乎还有发展。然而，正如 Moore 1949 年指出的，所有能级都可以采用 Racah 的 $J-L$ 耦合法来描述。实际上，与氦-氖激光器有密切联系的许多能级都可以采用 Russell-Saunders 耦合法来充分地描述。为了避免使用 Paschen 系统（因为这种系统不能解释电子耦合途径），我们将采用 $J-L$ 耦合和 $L-S$ 耦合法进行叙述。图 3 (a, b, c) 說明了用 $J-L$ 和 $L-S$ 耦合法时符号之间的自由变换。图 3 (d) 还可以包括采用 Paschen 法则描述的系统。

研究获得二类碰撞的可能性时，一个重要因素是 Wigner 旋转法则 (Massey 和 Burhop 1952 年)。这个旋转法则说明，如果保持旋转，激励能的传输就有可能，就是說（利用图 4 所用符号），如果两个級数

$$|S_i^{He} + S_i^{Ne}| \cdot |S_i^{He} + S_i^{Ne} - 1| \cdot |S_i^{He} + S_i^{Ne} - 2| \cdots |S_i^{He} - S_i^{Ne}|$$

和
 $|S_f^{He} + S_f^{Ne}| \cdot |S_f^{He} + S_f^{Ne} - 1| \cdots |S_f^{He} - S_f^{Ne}|$

具有一个公共項。

在确定能级组合的第二个重要因素是諧振辐射的获得，实际就是延长某个能级的寿命。在任一确定压力下，向基态辐射的任何一个能态的寿命都可以利用从一个被吸收被二次发射以及被二次吸收的原子所发射的光来延长。Holstein 理論提出以后，寿命的增长就可以

作为放电管的几何尺寸以及气体压力和温度的函数来加以计算。

在 Javan 激光器里，二类碰撞出现于长寿命的正稳能态 2^3S 和氯组态 $2p^54S$ 之间。在这个组态中能级的能量传输仅为 kT 的指数并且根据 $2p^53p$ 组态而有选择性地组合， $2p^53p$ 的组态，对于亚稳态的氯，已不可能用类似方式组合。 $2p^54S$ 组态的某些能级寿命比 $2p^53p$ 组态的某些能级寿命要长一个数量级，而 $2p^53p$ 组态迅速地衰变到 $2p^53S$ 组态，这个 $2p^53S$ 组态由亚稳态能级和其它能级组成，而其它能级只要有谐振辐射就能有效地变成亚稳态。

这里存在一种危险，即 $2p^53p$ 组态可能因受电子碰撞而与 $2p^53S$ 组态重新组合，从而消除了 $2p^54S$ 和 $2p^53p$ 之间的反转组合。由于这个原因，必须保持一定的电子密度，而且必须破坏

$2p^53S$ 的亚稳态。这就是说，激光器的尺寸必须充分地小，以便于使 $2p^53S$ 亚稳态向壁漫射而消失。 $2p^54S - 2p^6$ 的过渡比 $2p^54S - 2p^53p$ 的过渡更容易实现。这就是说，氯压力必须保持很高，大致在几毫米水银柱左右，因此， $2p^54S - 2p^6$ 就出现再吸收现象并维持 $2p^54S$ 组态的高能级。采用这种方式， $2p^54S$ 组态中可能有足够多的原子向 $2p^53p$ 进行辐射，辐射强度足以抵消系统中其它类型的损失，从而保持一定的激光输出。

Javan 发现 $2p^54S$ 组态用同样的方式衰变为 2^3S 氯亚稳态的时间变化 $2p^53p$ 能级的后期闪光，由于从 $2S$ 能级的级跃迁作用，也出现同样的衰变。

在内径为 1.5 厘米，长 30 厘米的石英晶体管内，激光器氯的压力为 0.1 torr，氯的压力为 1 torr。谐振腔采用两个平面

平行的法布里—珀洛特板用鼓风法(Bellows)连接于石英晶体管的两端而成。这样在放电之间就无空窗存在，放电采用外部电极，功率为50瓦，辐射频率为 28 Mc/sec ，镜的反射率98.9%。

振荡保持在 $1.1180, 1.1523, 1.1600, 1.1990, 1.2070\mu$ 之下。在 1.1523μ 时出现最强的振荡，输出功率为15毫瓦。这就是 $4S'p_1 - 3p^3p_2$ 跃迁。

因为氯的基态为 $2S'5S$ ，氯的基态为 $2p^61S$ 。故根据 Wigner 旋转法则讨论可以得出如下结果，虽然 $4S'p_1 - 3p^3p_2$ 跃迁是最强的，但破坏了旋转法。这里 $S_i^{He} = 1, S_f^{He} = 0, S_i^{Ne} = 0, S_f^{Ne} = 0$ ，故第一个级数简化为一项，数值为1，第二个级数简化为一项，数值为0。因而不存在公共项。

Brod 等 1962 年使用气体放电管外部加凹镜的结构，获得了相同波长的振荡。这种放电管两端用对射线轴有布儒斯特角的光学平面密封，使系统内的反射损失(即由于入射平面内的辐射极化反射而引起的反射损失)减到最低限度，前已说明，凹镜比平面平行镜易于对准。还由于它们和放电管已不是一个整体，因而可能使放电管受热而放出气体，不过这不损害镜面具有高反射率的多层介电涂层。

Branguccio 1962 年讨论了这种放电管的结构。

2·3·其它激光器的激励机构

White 和 Rigden(1962,b)用肉眼观察到的激光效应是由于 $2'S$ 氯亚稳态和 $2p^55S'p_1$ 氯能级之间发生二类碰撞的结果。以 6328\AA 的波长跃迁的氯线 $5S'p_1 - 3p^3p_2$ 能够受激光的条件是：混合气体压力 0.7 torr ，氯—氯混合气比例为 $10:1$ ，在一个外部使用反射镜且有布儒斯特角的放电管内受激励，激励源采用直流电源，电压为 1700 伏，电流在 25 和 50 毫安之间。

McFarlane

等人 1962 年使用一个较长的氮—氮管（长 22.5 厘米）在电子组态 $2p_{4s}^5$ 和 $2p_{3p}^5$ 之间的六个新传输线上获得了振荡，必须的反转是利用和 Javan 提出的相类似的二类碰撞法得到的。

Rigdon 和 White (1962, b) 使用一个直流功率管和“混合型”反射镜（这种反射镜在 1.15μ 和 6328 Å 波长有很高的反射率）可以同时激发出红外和可见光谱。他们观察到 1.1526 Å ($4s'p_1 - 3p^3p_2$ 和 6328 Å ($5s'p_1 - 3p^3p_2$) 终止于相同的能级，相互对效率均有影响。

Bloom 等人 (1963 年) 采用氮—氮混合气体观察到波长为 $3 \cdot 39\mu$ 的两种跃迁： $5s'p_1$ 或 $5s'[1\frac{1}{2}]^1 - 4p[1\frac{1}{2}]^1$ 这种波长为 $3 \cdot 39\mu$ 的跃迁像 6328 Å 传输一样分配相同的能级，而且两个能级同时受激发光。红外跃迁的增益很高，有时候，谐振腔的制作不能补偿红外传输的损耗，则不能出现波长为 6328 Å 的传输。

Faust

McFarlane 和 Patel 1963 年第一次获得了氮的 f-d 跃迁线的振荡，特别是六个 $4f - 3d$ 型跃迁线。氮线上的能级在氮的 $2's$ 亚稳态之上 $4k_T$ (800 cm^{-1}) 左右，可以认为，二类碰撞就是反转的起点。这一点可以用没有 $4f'$ 跃迁线出现来证实。 $4f'$ 跃迁能级在 $2's$ 亚稳态之上 $8k_T$ 左右，因此，受激的可能性很小。氮的最佳部分压力以及射频激励度，根据激光器的每一传输线而各有不同。

到 1963 年 6 月为止，在 $4s - 3p$ 组跃迁线里面，尚未使用的两条跃迁线是 $4s'p_1 - 3p^3p_0$ 和 $4s'p_1 - 3p^3p_1$ 。这两条跃

迁綫具有相同的上能級，强度为 1.15μ 。它们跃迁的可能性小于强綫(Koster 和 Statz 1961年)跃迁的可能性并且其上能級显然受 1.15μ 所限制。然而，Rigden 和 White 在 1963 年使用一个一米长，3 毫米內徑的管子，加上外面的球面鏡，采用直流放电方法，得到了波長为 1.15μ 的振蕩。如果使用“混合型”反射鏡，这种反射鏡在波長 1.15μ 和 6328\AA 时的反射率很高，则 1.15μ 將受到 6328\AA 的强振蕩而被抑制。这些傳輸線具有一个公共的末能級，故对 1.15μ 傳輸來說，反转受到破坏。这是因为反转机构是实现 6328\AA 傳輸的，比 2^3S 亚稳态建立的反转机构更为有效。显然，Wigner 旋转法在前面机构中并不破坏。

因为反转对 1.15μ 傳輸已破坏，激光器在两个前面不存在的波長上受激发光以后， $4S^1p_1^0$ 能級早已損失其粒子組合。已經算出 3.39μ 的增益为 23 分貝/米， 1.15μ 和 6328\AA 的增益为 0.4 分貝/米。一个 2.5 米的管子，一端用銀質反射鏡，可产生方向性很强类似于激光器的 3.39μ 波長的光傳輸。这要求高增益，因为沿管子的自然輻射已被放大到足以使介质飽和的程度：这就叫做超輻射通量。为了減小 3.39μ 波長的影响，在諧振腔内应加一个稜鏡，使各种 $5S-3p$ 傳輸发生振蕩。这个方法类似于 Bloom 1963 年采用的方法。Bloom 等人于 1963 年測量了 3.39μ 跃迁的增益，內徑为 3 毫米的管子，增益为 80 分貝，他们并且研究了 3.39μ 超輻射通量对 6328\AA 線的影响。

Boo 等人 1963 年使用了一种新的使氮—氯激合气激励的方法。采用一直徑为 2 厘米、长 150 厘米的管子，他们加了 1 微秒的脈冲，脈冲功率在 90 安时达 60 千瓦，重复速度高达 $2,500/\text{s.}$

结果，使 $4s - 3p$ 的四个跃迁线产生振荡，产生振荡时的绝对压力和部分压力范围都很宽。纯结果是：峰值功率高达 8.4 瓦，平均功率在重复频率超过 2.20 毫瓦。显然用这样大的功率是因为重新组合游离氮的等离子这时 χ^3S 氮的亚稳态容易形成的原因（Bott 等 1963 年）。这里存在着亚稳态高密度的双重优点，但是却缺乏很高的电子密度。

Patel 等人（1964 年 b）在 $7d - 6p$ 中间实现一个波长以及在 $6p - 5d$ 中间实现三个波长的振荡，波长都在 $3/\mu$ 和 $5/\mu$ 之间。他们采用在中心开 $\frac{1}{2}$ 毫米小孔的办法，达到通过反射镜的传输。采用这种方法，可获得了高反射率，因为通过镜传输的能量，如果说为 1%，反射率在 5μ 之下约为 70%，其余的能量可能被反射镜吸收。用氮来激励这些传输线时，最好建议用组合的、但不是亚稳态的氮能级 $2'p_1$ 和氮 $7P$ 能级之间的二类碰撞作反转机构。 $2'p_1$ 组态由于负波效应可能很大。

进一步建议通过“级联”过程实现 $6P - 5d$ 线跃迁，办法是使用氮的亚稳态使上述能级激励，或者采取电子离子重新组合的办法使上述能级激励。

Gerritsen 和 Goedertier 1964 年的设想是搞“级联”激光器的一个强有力的主要主张。 $4p'[1\frac{1}{2}]_2 - 4s'[1\frac{1}{2}]_1$ 线跃迁已产生振荡。因为较低的能级事实上就是 $4s'p_1^0$ ，这是 1.152μ 跃迁的上能级，所跃迁时肯定有吸收，不会产生激光器效应。在氮—氮管内，跃迁确实有吸收现象。然而，如果在管的周围加反射镜，那么就出现 3.39μ 的跃迁并且组合 $4p'[1\frac{1}{2}]_2$ ；这个组态大于 $4s'[1\frac{1}{2}]_1^0$ 因此出现一个新的激光器跃迁（只要配以适当的反射镜）。然后又组合 $4s'[1\frac{1}{2}]_1^0$

能級并增大 1.1526μ 。因此激光器三个振蕩中的第二个振蕩，就是一級聯激光器”振蕩，它是靠 3.39μ 波長的振蕩來工作的。

Rosenberger 1964 年發現了同样的 $4p - 4s$ 跃迁和另外两种跃迁。他发现，波長为 3.39μ 的超幅通量也足以形成能够产生三級振蕩的能量 $4p' (1\frac{1}{2})$ 。

Faust 等人(1964 年)，McFarlane 等人(1964 年)以及 Potz 等人(1964 年)發現了 60 种新的氛跃迁，两个新的跃迁，并且各自获得 14 种新跃迁。他们認為，只有在九个 $5s - 4p$ 線情况下，可以抽运原子达到激光器的上能級(而属于和氮的亞穩態 2^1S 的二类碰撞性質的上能級)。一般認為：其他能線可以通过电子与基态原子碰撞或通过重新組合过程加級聯的办法，或单独采用級聯办法来实现。这些人指出，到 64 年为止发现的跃迁均属于一般的模型，在这种一般模型里覈察到的系統能量都是 $5s - 4p$, $5s - 3p$, $4s - 3p$, $6p - 5d$, $5p - 4d$, $4p - 3d$ 組态的跃迁，像 $6p - 4d$, $5p - 3d$ 等組态在一般模型里覈察不到跃迁，这是为理論証实了的，因为有关空間波函数重迭很大的强跃迁，均属于前面一组跃迁。Mielcz 等人 1964 年証实这样一个判断，即所有布儒斯特角窗內固有的射線极化都有不良影响，然而却可以使另一种激光器很好地工作，这个激光器有外反射鏡裝置，平面垂直窗相互平行，誤差 $\pm 1'$ ，两边有两层抗反射涂层。平面垂直窗可傳輸波長 1.15μ 的光波 $99 - 5\%$ ，同时窗的涂层不因受热而破坏。放电采用射頻振蕩器作激励源。

Bennet 根据 $4s^3 p^0 - 3p^3 D_1$ 跃迁線波長仅为 2.26 \AA 而不是 Van 的强 1.1526μ 波長的推断，試圖使 $4s^3 p^0 - 3p^3 D_1$ 跃迁受激发光，他把波的干涉技术加以推广，使两个激光器振蕩尽量接近。然